

FLAVONAS, LIGNANAS E TERPENOS DE *Piper umbellata* (PIPERACEAE)

Debora Cristina Baldoqui, Vanderlan da S. Bolzani e Maysa Furlan*

Instituto de Química, Universidade Estadual Paulista, CP 355, 14800-900 Araraquara – SP, Brasil

Massuo J. Kato

Instituto de Química, Universidade de São Paulo, CP 26077, 05599-970 São Paulo – SP, Brasil

Márcia O. M. Marques

Instituto Agronômico de Campinas, 13075-630 Campinas – SP, Brasil

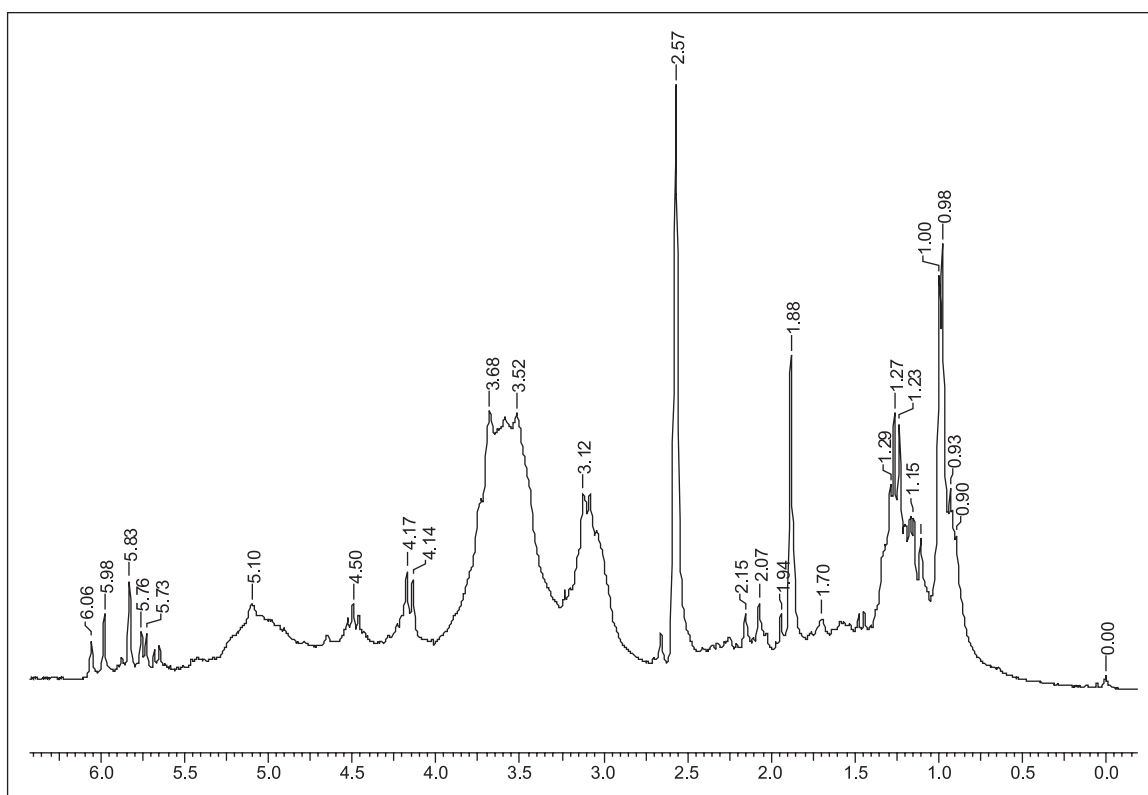


Figura 1S. Espectro de RMN de ^1H (200 MHz, DMSO-d_6) da substância 1

*e-mail: maysaf@iq.unesp.br

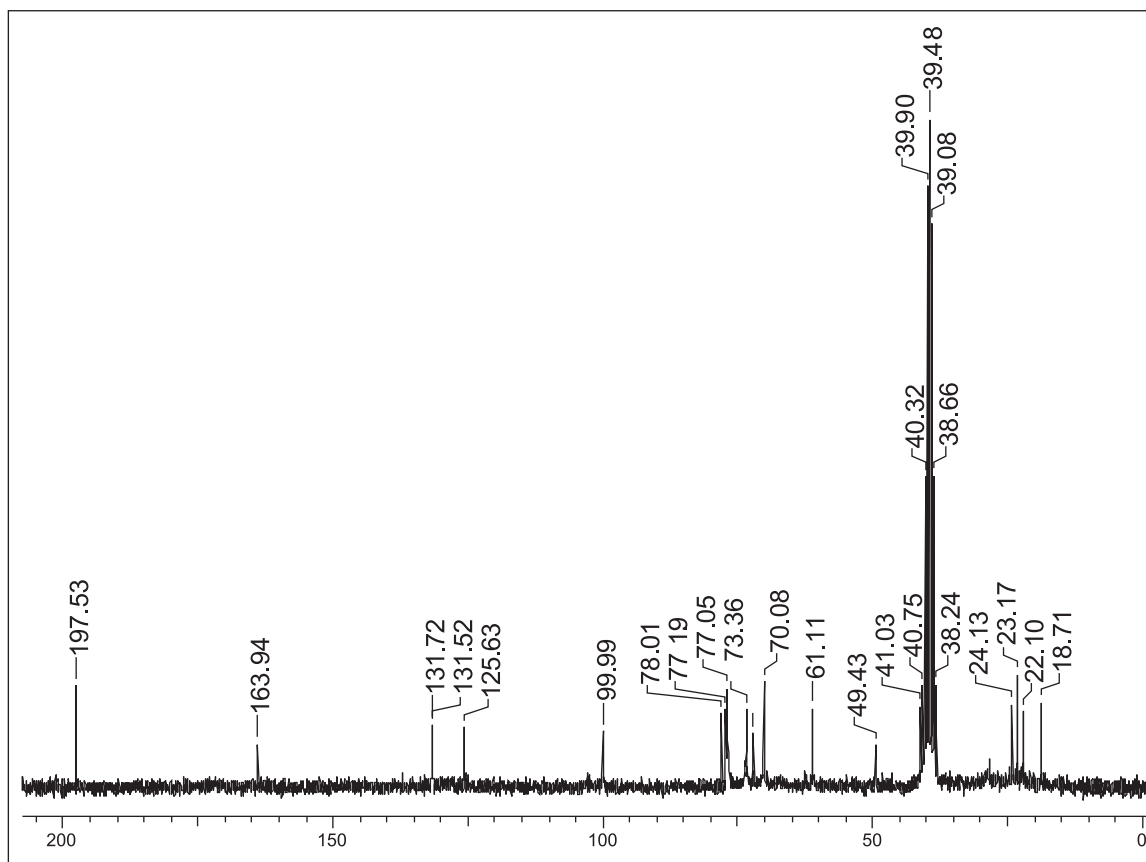


Figura 2S. Espectro de RMN de ^{13}C (50 MHz, DMSO-d_6) da substância 1

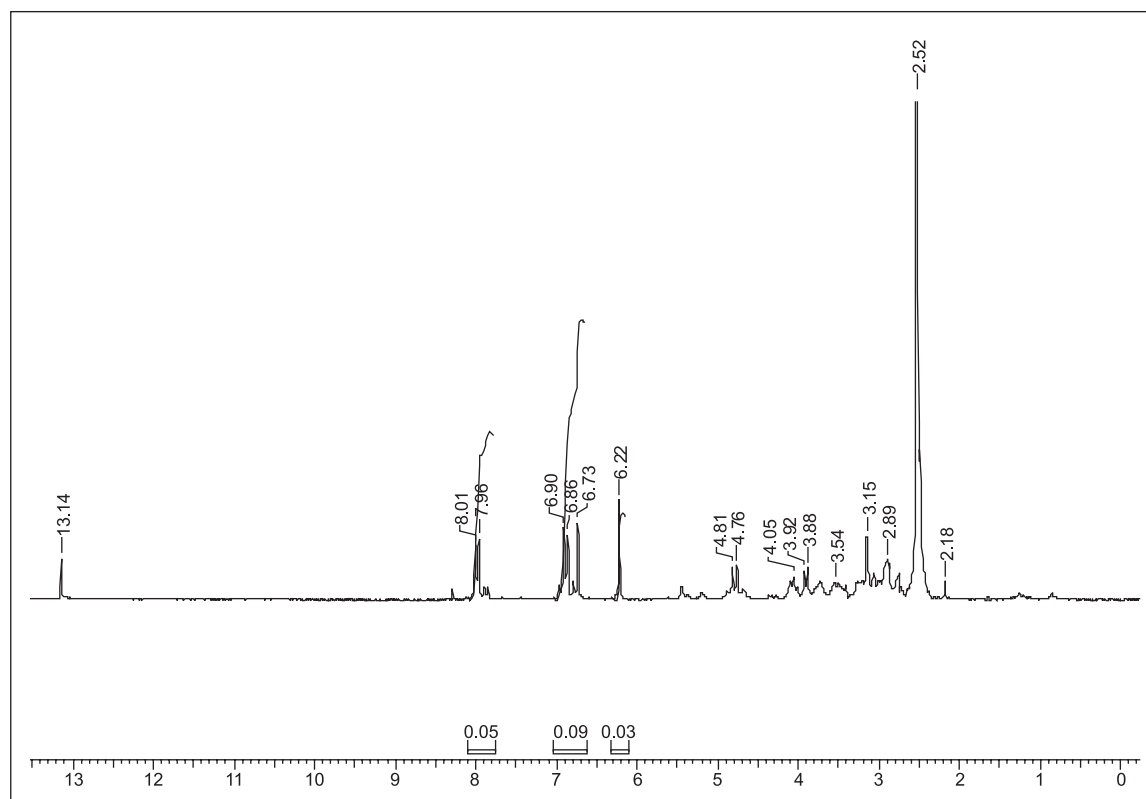


Figura 3S. Espectro de RMN de ^1H (200 MHz, DMSO-d_6) da substância 2 - supressão do pico da água em δ 3,3

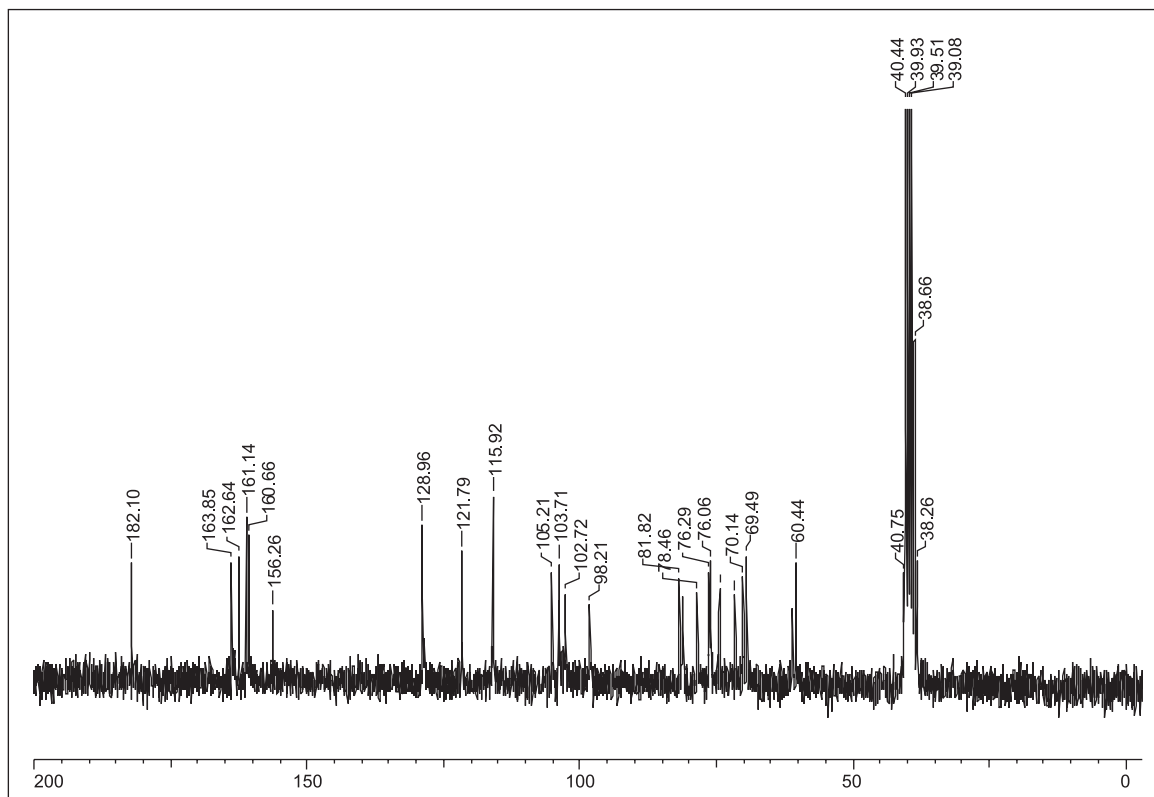


Figura 4S. Espectro de RMN de ^{13}C (50 MHz, DMSO-d_6) da substância 2

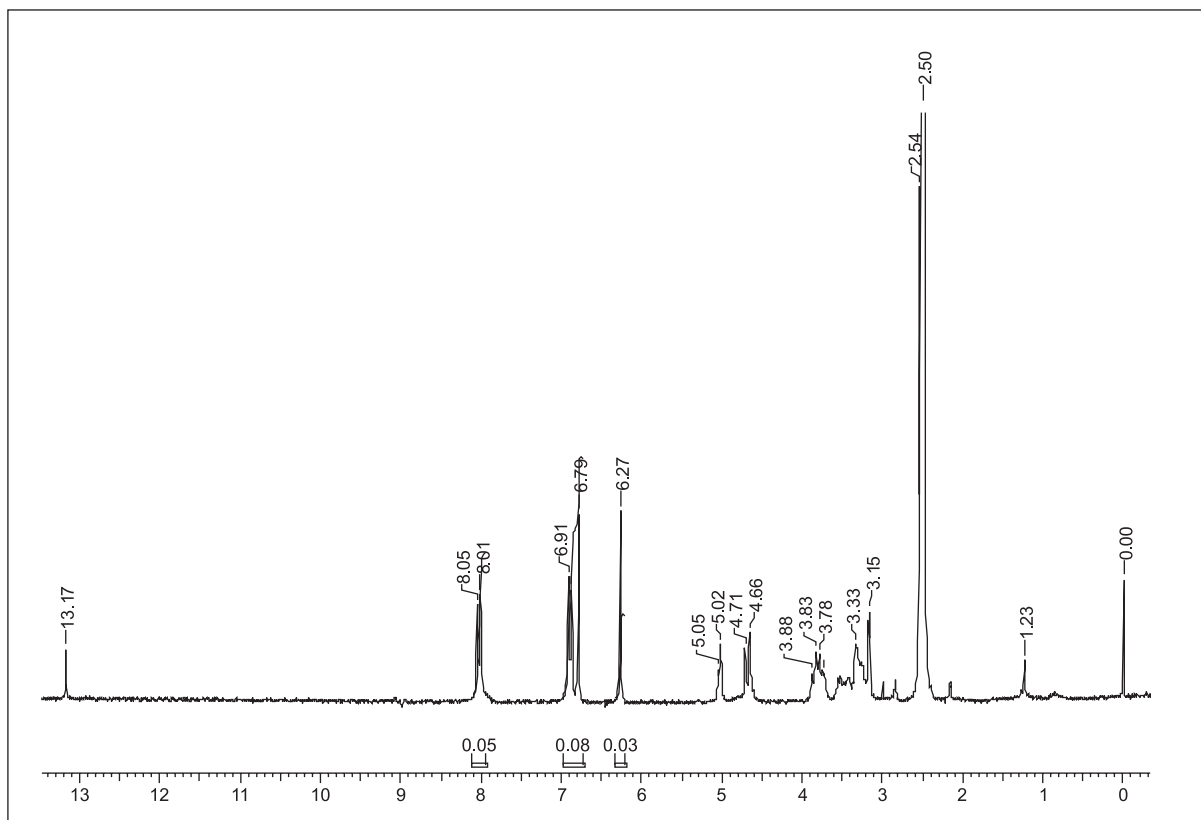


Figura 5S. Espectro de RMN de ^1H (200 MHz, DMSO-d_6) da substância 3 - supressão do pico da água em 3,3 δ

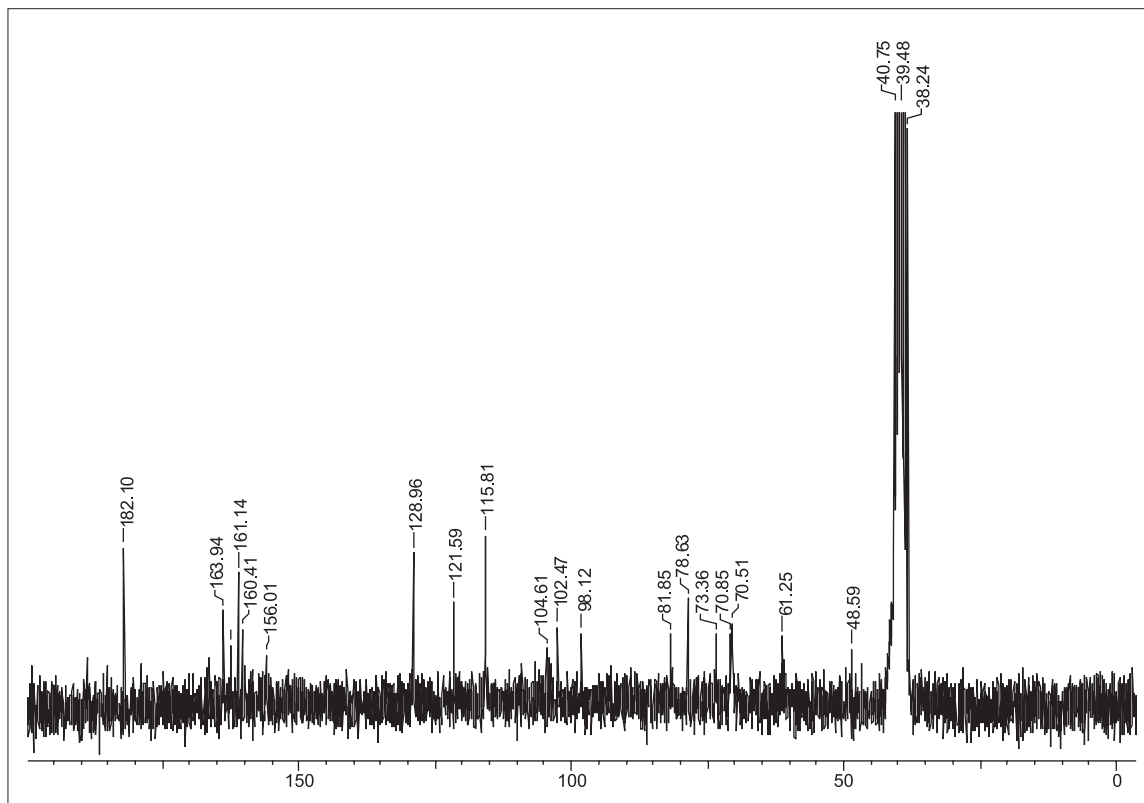


Figura 6S. Espectro de RMN de ^{13}C (50 MHz, DMSO-d_6) de 3

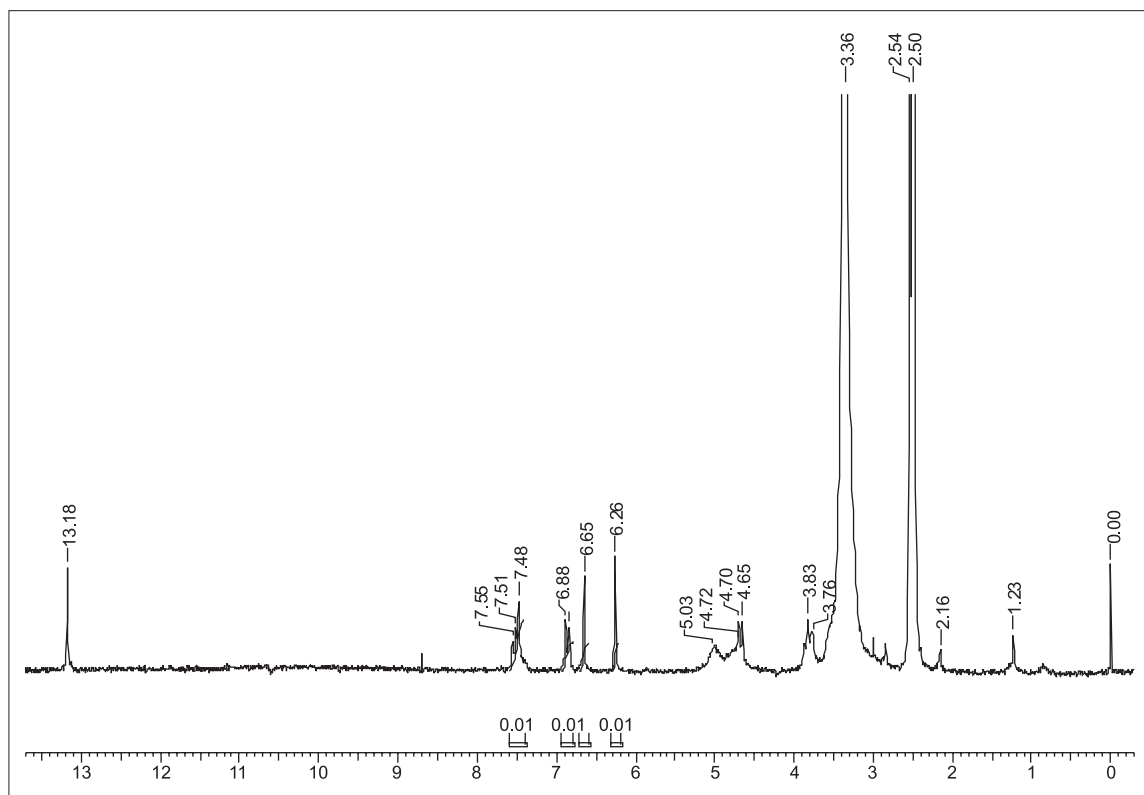


Figura 7S. Espectro de RMN de ^1H (200 MHz, DMSO-d_6) da substância 4

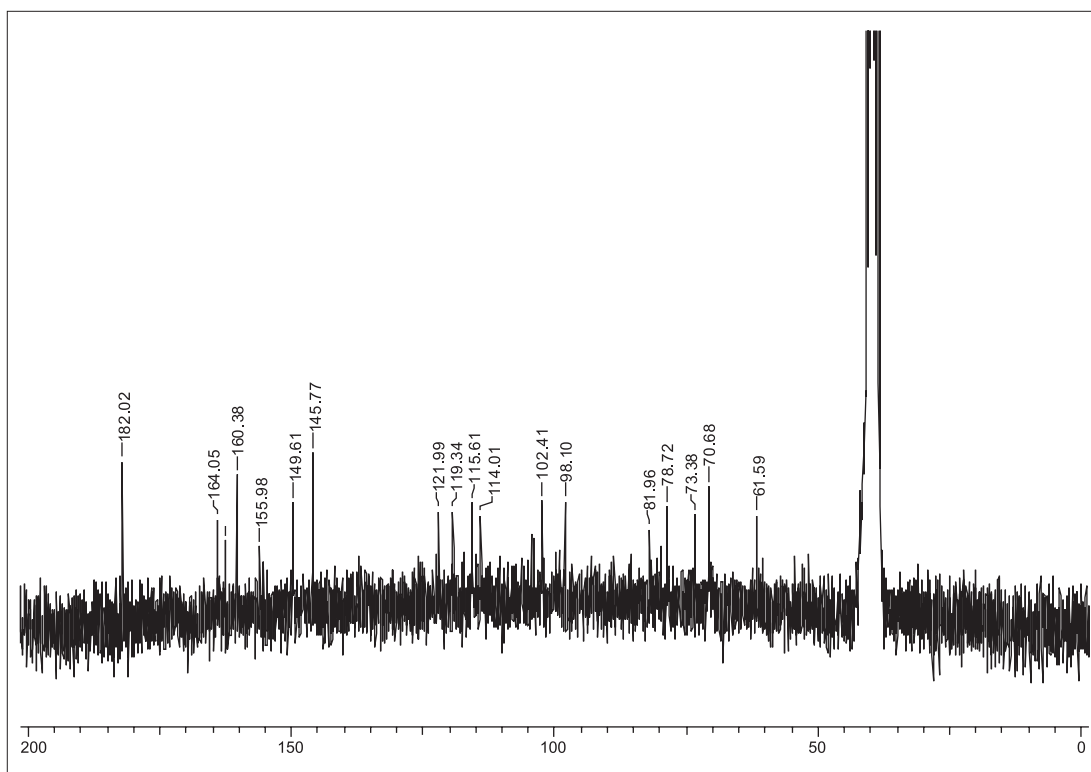


Figura 8S. Espectro de RMN de ^{13}C (50 MHz, DMSO-d_6) da substância 4

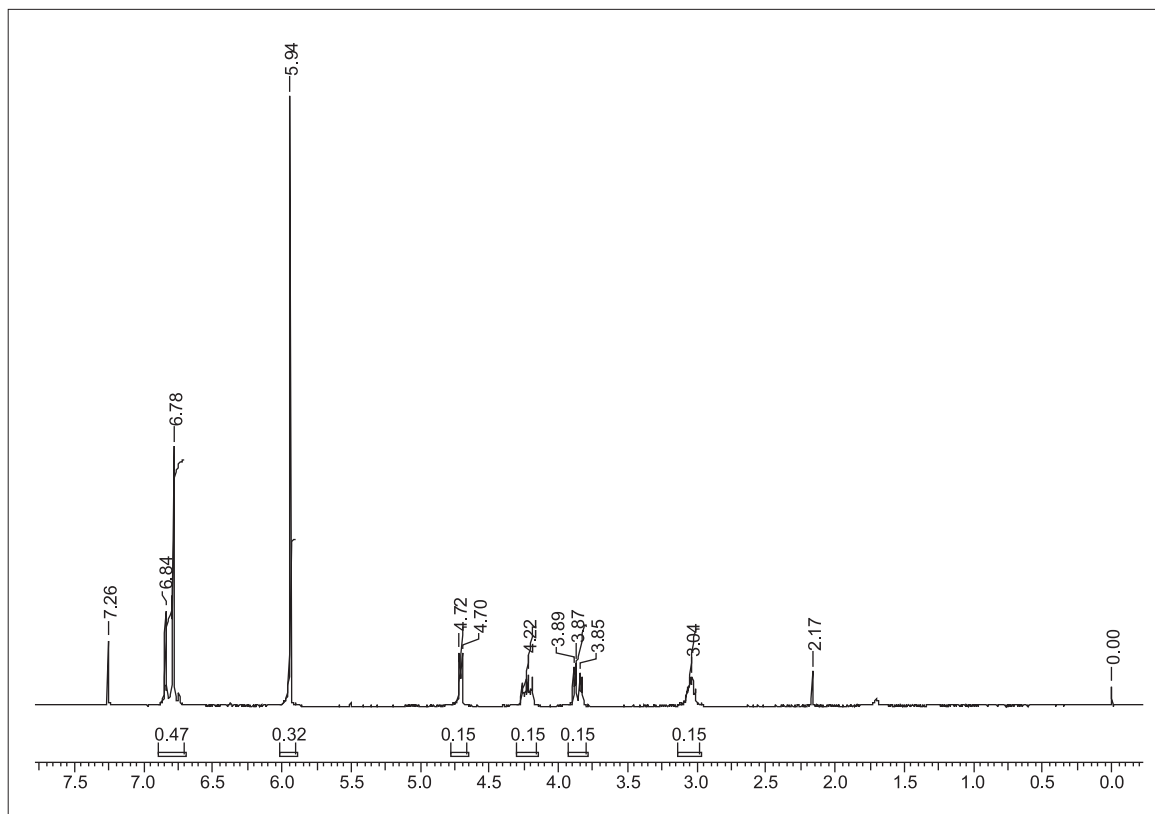


Figura 9S. Espectro de RMN de ^1H (200 MHz, CDCl_3) da substância 5

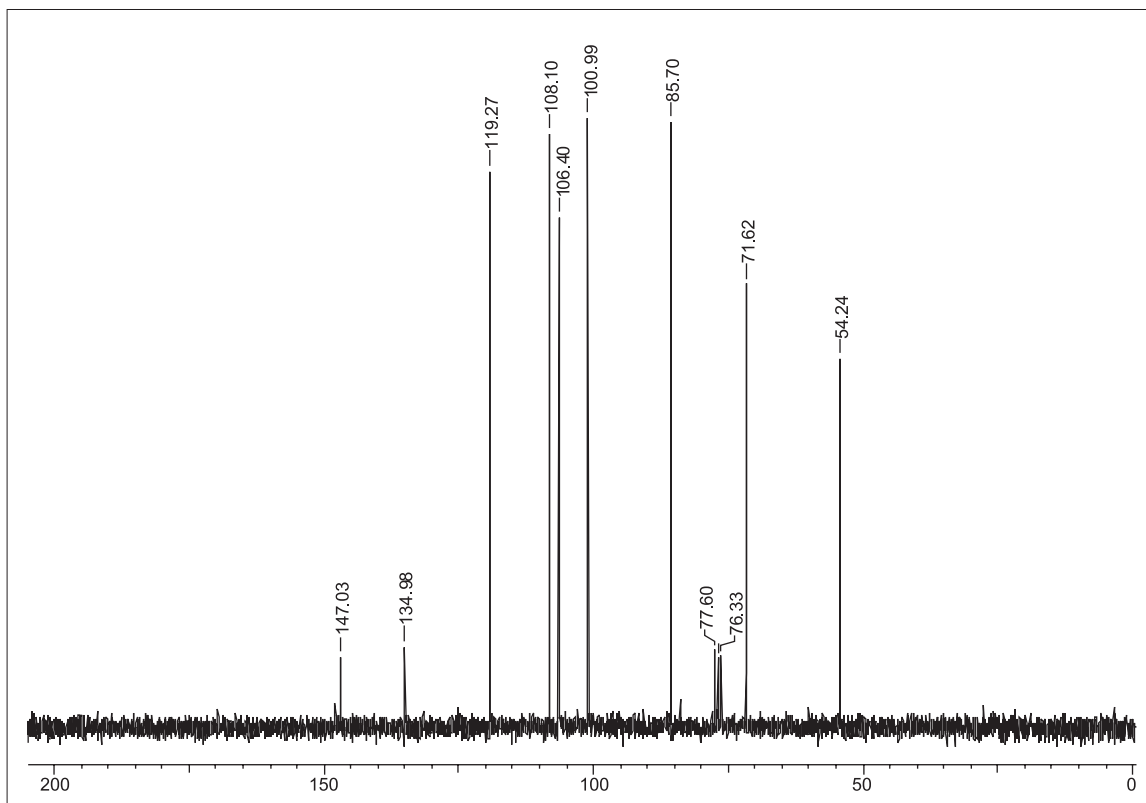


Figura 10S. Espectro de RMN de ^{13}C (50 MHz, CDCl_3) da substância 5

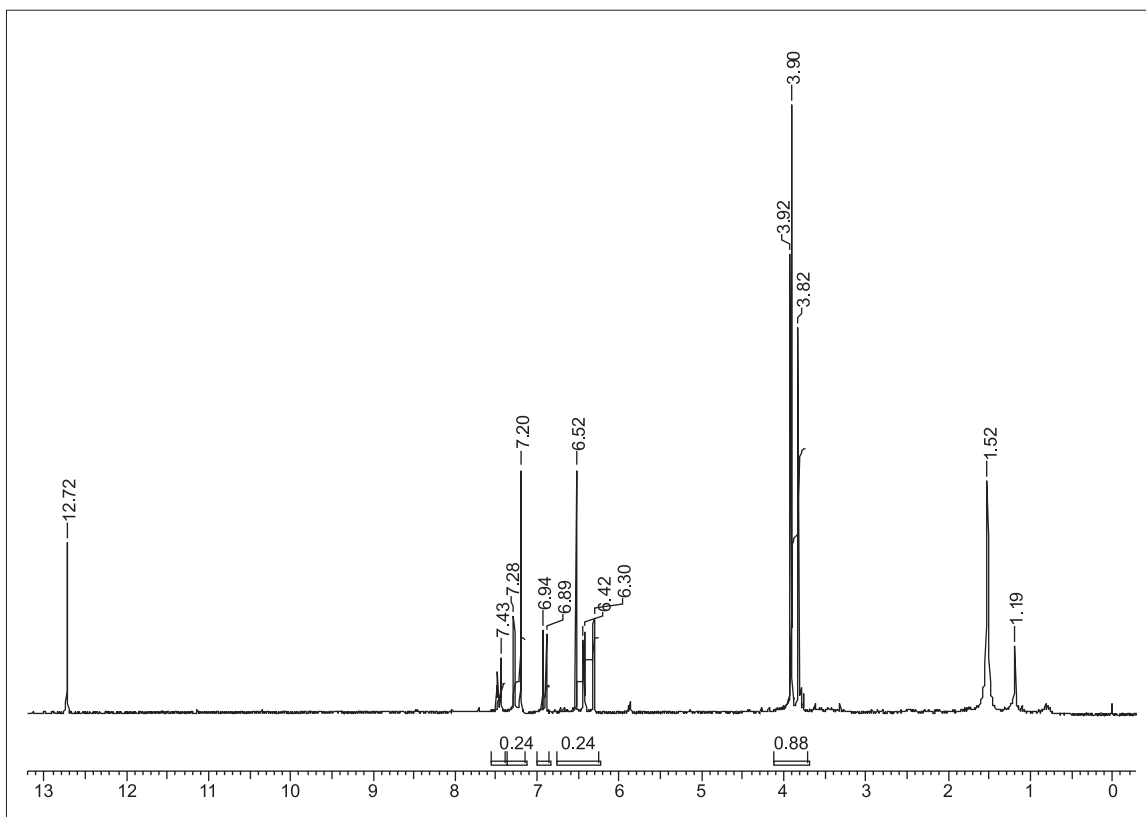


Figura 11S. Espectro de RMN de ^1H (200 MHz, CDCl_3) da substância 6

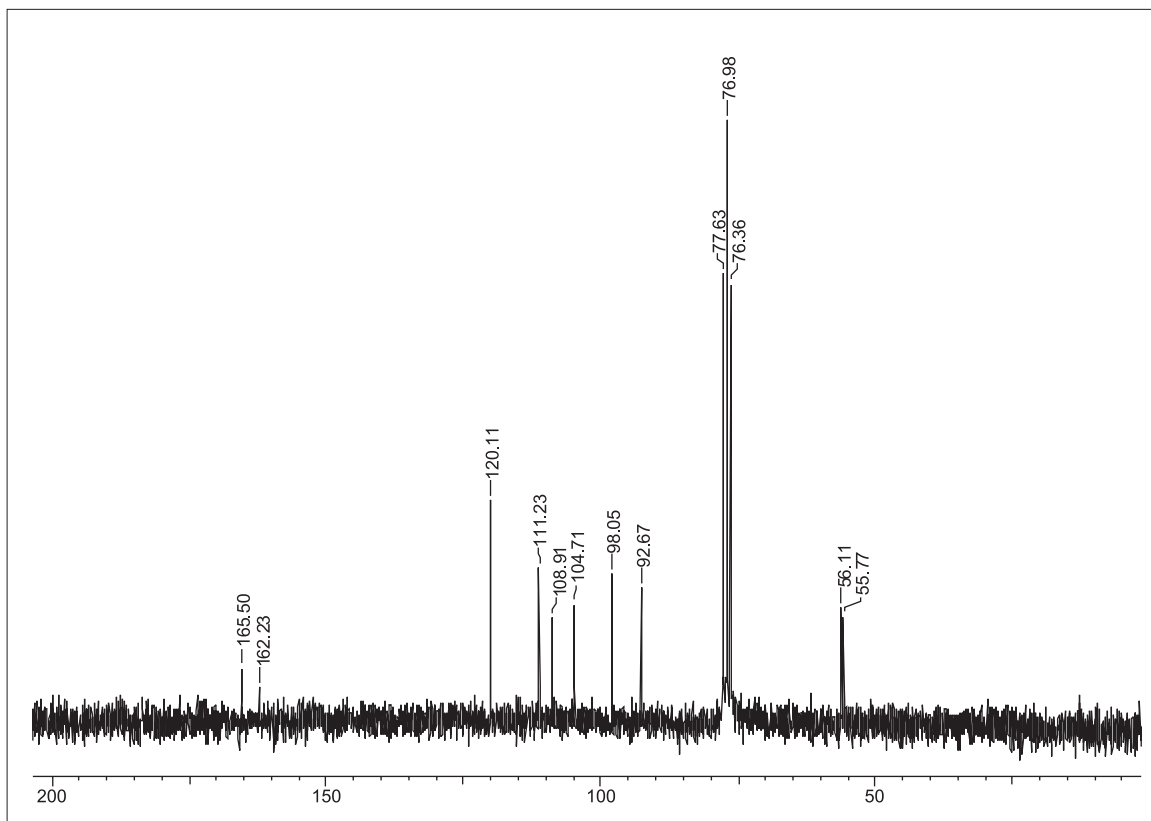


Figura 12S. Espectro de RMN de ^{13}C (50 MHz, CDCl_3) da substância 6

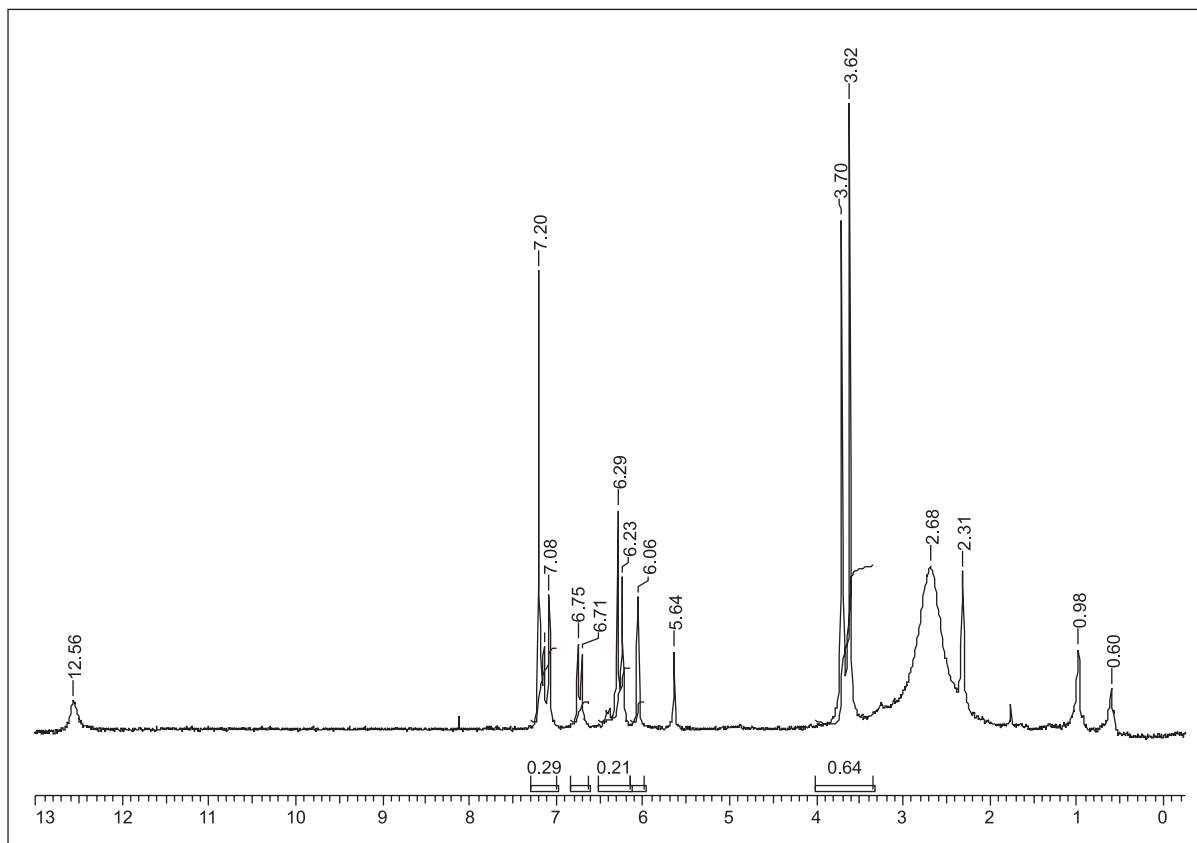


Figura 13S. Espectro de RMN de ^1H (200 MHz, CDCl_3 + gotas de $\text{DMSO}-d_6$) da substância 7

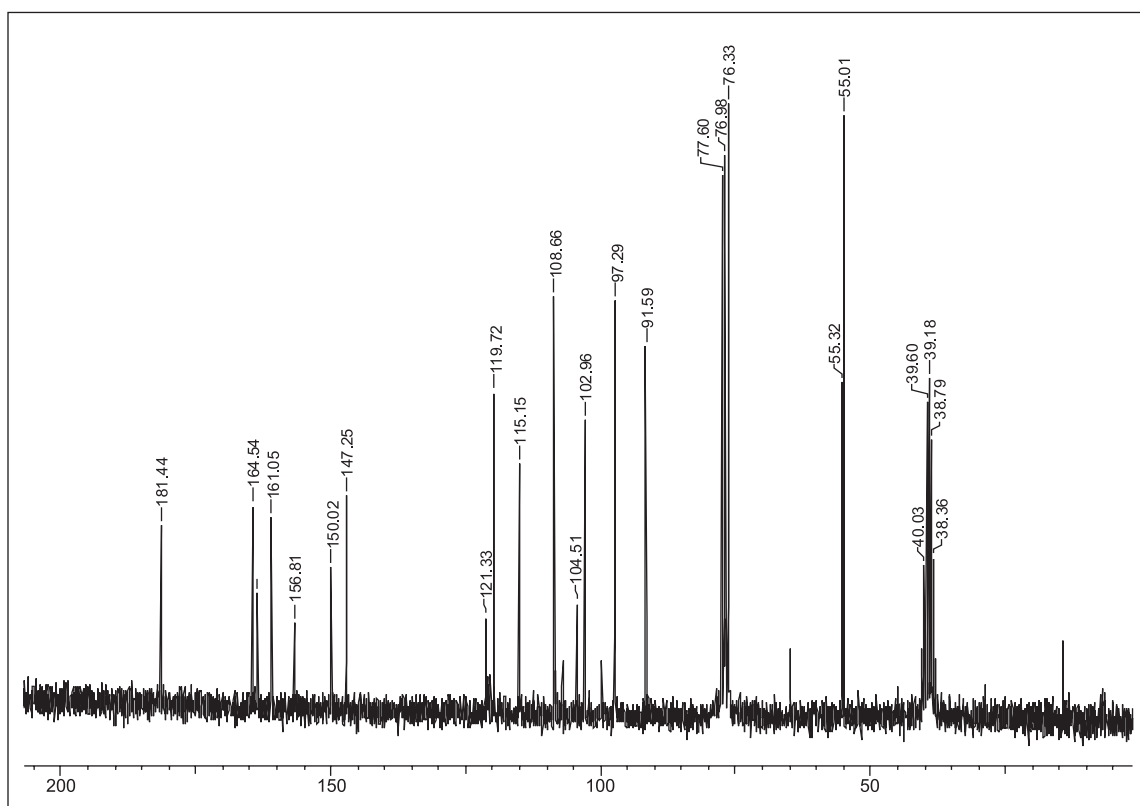


Figura 14S. Espectro de RMN de ^{13}C (50 MHz, CDCl_3 + gotas de $\text{DMSO}-d_6$) da substância 7

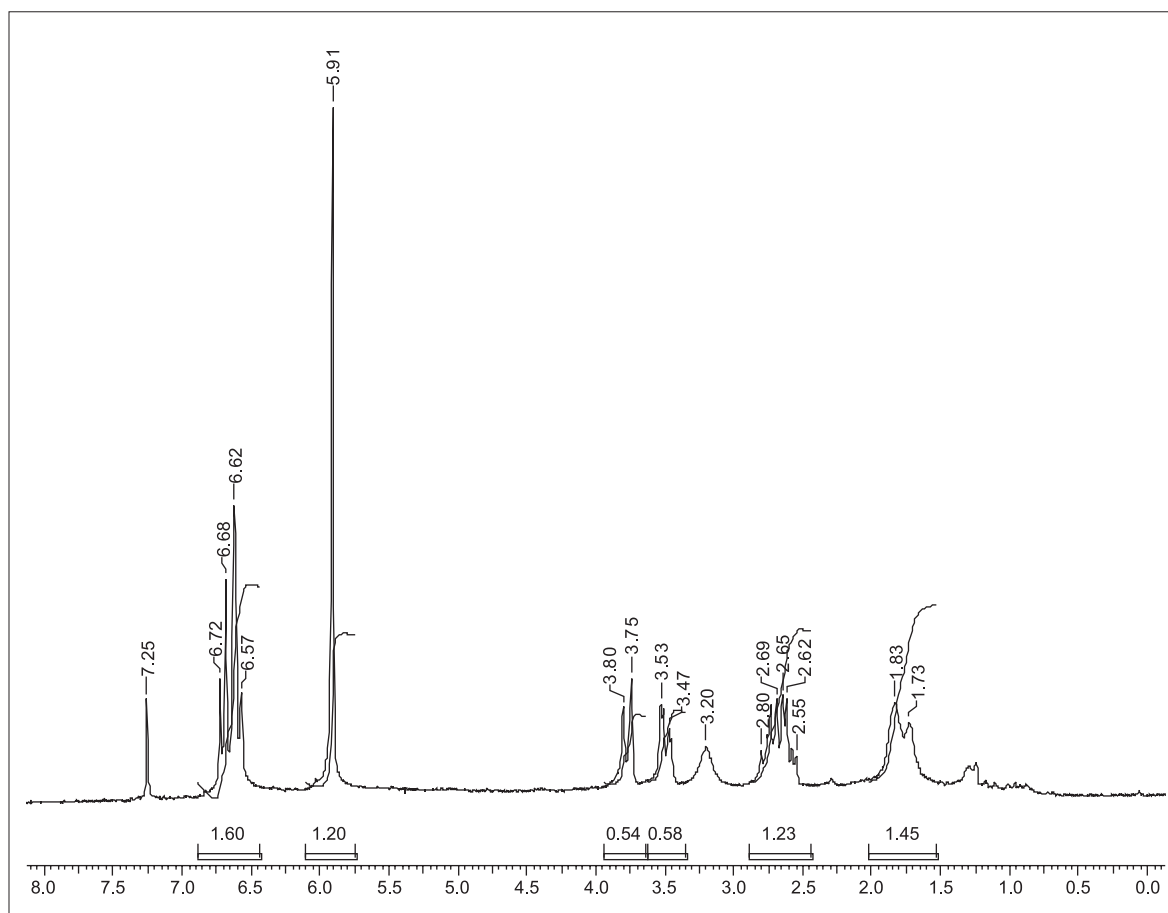


Figura 15S. Espectro de RMN de ^1H (200 MHz, CDCl_3) da substância 8

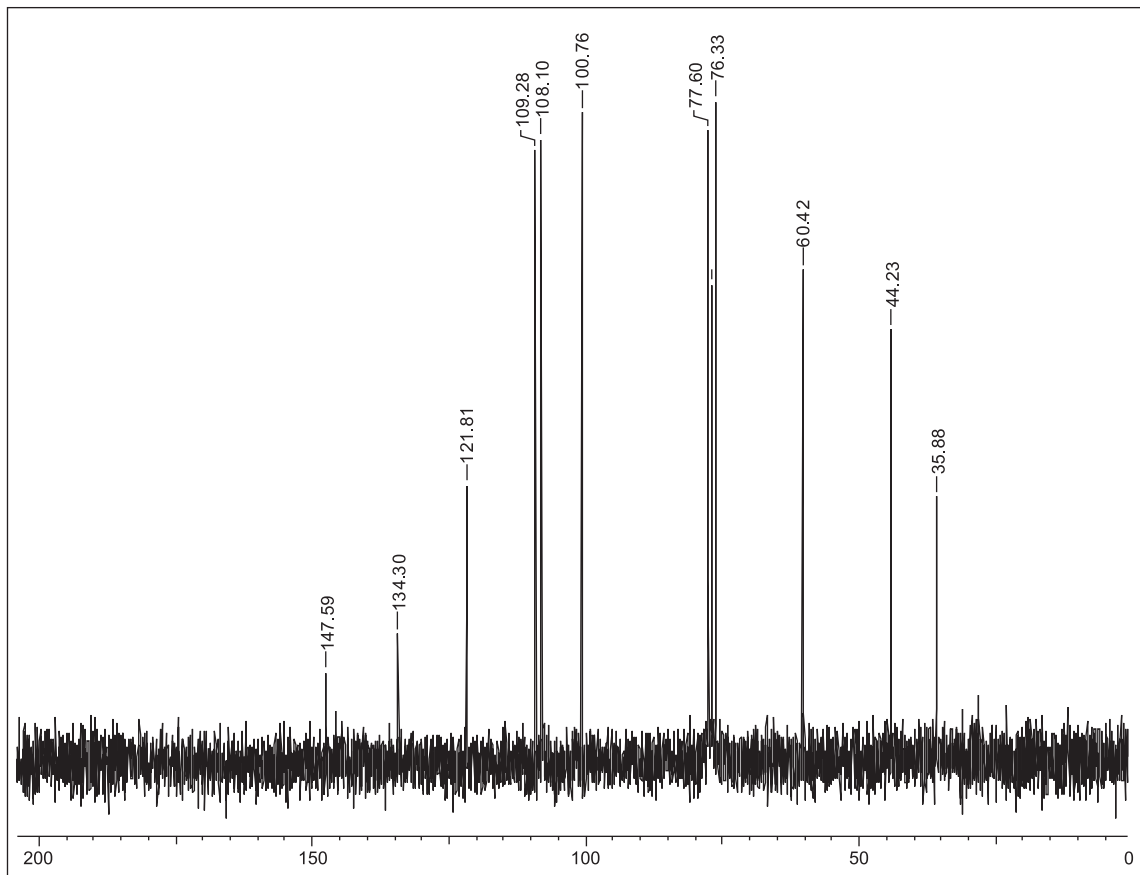


Figura 16S. Espectro de RMN de ^{13}C (50 MHz, CDCl_3) da substância 8

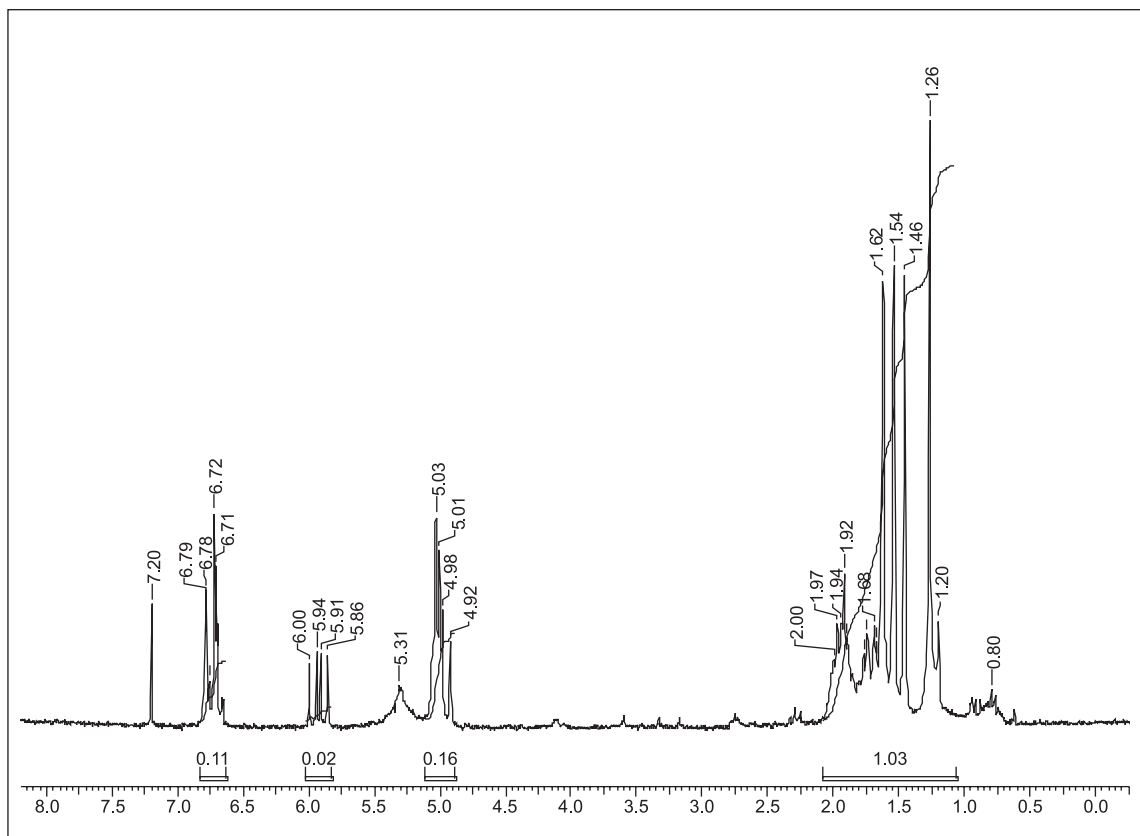


Figura 17S. Espectro de RMN de ^1H (200 MHz, CDCl_3) da substância 9

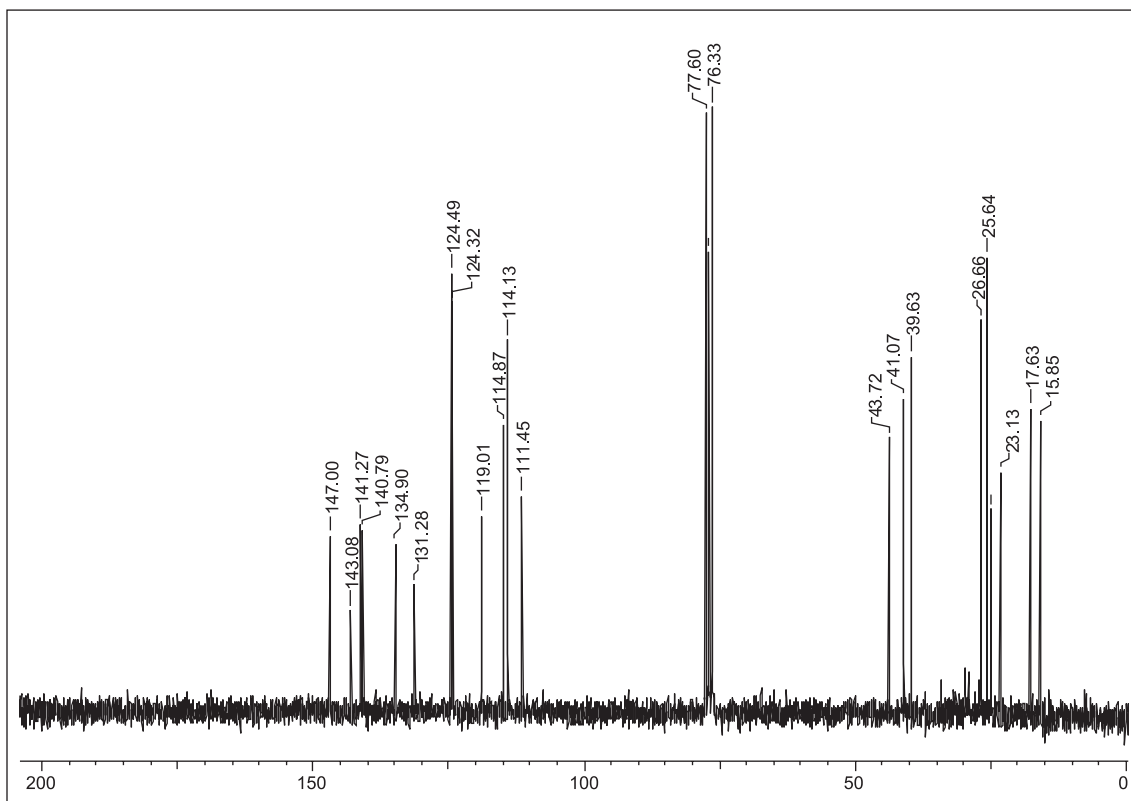


Figura 18S. Espectro de RMN de ^{13}C (50 MHz, CDCl_3) da substância **9**